

# Анализ синхронизация спин-трансферных осцилляторов с одноосной симметрией и полевой связью в фазовом приближении

П. В. Купцов

Саратовский филиал Института радиотехники и электроники  
им. В.А. Котельникова Российской академии наук  
textttkupav@mail.ru

Исследование выполнено за счет гранта Российского научного фонда №21-12-00121  
<https://rscf.ru/project/21-12-00121/>

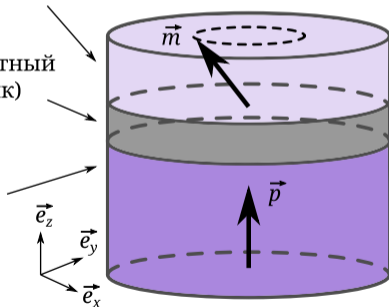
# Спин-трансферный осциллятор

Это наноразмерное устройство, которое может генерировать маломощное СВЧ излучение

Тонкий слой ферромагнетика.  
Намагниченность  $m$   
легко меняется

Разделитель (немагнитный  
металл или диэлектрик)

Толстый слой  
ферромагнетика -  
постоянный магнит,  
намагниченность  $p$



$\vec{h}_{\text{ext}}$  ↑  
Внешнее  
магнитное  
поле

$\vec{j}$  ↓  
Электрический ток  $j$ .  
Электроны двигаются  
снизу вверх

# Уравнение Ландау-Лифшица-Гильберта-Слончевского

[Mayergoyz, Bertotti, Serpico, *Nonlin. magnetization dynam. in nanosystems*, Elsevier, 2009]

$$\dot{\vec{m}} - \alpha \vec{m} \times \dot{\vec{m}} = -\vec{m} \times \vec{h}_{\text{eff}} + \frac{\beta}{1 + c_p(\vec{m} \cdot \vec{p})} \vec{m} \times (\vec{m} \times \vec{p})$$

$$\vec{h}_{\text{eff}} = \vec{h}_{\text{ext}} - \mathcal{D}\vec{m}$$

- $\|\vec{m}\| = 1$  так как  $(\dot{\vec{m}} \cdot \vec{m}) = 0$ . Динамика на сфере
- $\alpha$  затухание
- $\beta$  проп. току  $j$ , контролирует собственную частоту
- $\mathcal{D}$  материал, геометрия
- $c_p$  материал, часто берут  $c_p = 0$

# Спин-трансферный осциллятор с одноосной симметрией относительно оси Z

[Mayergoyz, Bertotti, Serpico, *Nonlin. magnetization dynam. in nanosystems*, Elsevier, 2009]

$$\begin{aligned}\dot{m}_x &= m_z A m_x + B m_y \\ \dot{m}_y &= -B m_x + m_z A m_y \\ \dot{m}_z &= A(m_z^2 - 1)\end{aligned}$$

где  $A = (m_z - h_z + \beta/\alpha)\alpha$ ,  $B = m_z - h_z - \beta\alpha$

Уравнения для  $m_x$  и  $m_y$  линейные,  $m_z$  монотонно выходит на неподвижную точку

# Выводы

- Спин-трансферный осциллятор с одноосной симметрией генерирует узкополосные колебания без старших гармоник. В теории — просто синусоида
- Стабилизация колебаний за счёт появления ненулевого коэффициента экспоненциального затухания, как в линейной системе с диссипацией
- Получены условия синхронизации двух таких осцилляторов в фазовом приближении
- Численный анализ выявил наличие бистабильности синхронного и несинхронного режимов
- Бистабильность исчезает при слишком малой и слишком большой силе связи
- Из-за отсутствия нелинейности по колебательным переменным карты режимов устроены просто — нет большого количества режимов, в частности нет резонансов старших  $m : n$
- Спин-трансферный осциллятор с одноосной симметрией — простая модель с интересными свойствами

# Решения

[Mayergoyz, Bertotti, Serpico, *Nonlin. magnetization dynam. in nanosystems*, Elsevier, 2009]

Уравнение для  $m_z$  имеет три неподвижные точки.

Фокусы на полюсах. Условия устойчивости:

$$\beta/\alpha < h_z - 1 \quad \text{уст. фокус } m_z = 1, m_x = m_y = 0$$

$$\beta/\alpha > h_z + 1 \quad \text{уст. фокус } m_z = -1, m_x = m_y = 0$$

Гармонические колебания вдоль параллели

$$h_z - 1 < \beta/\alpha < h_z + 1 \quad m_z = h_z - \beta/\alpha$$

$$m_x = r \cos \omega t, m_y = r \sin \omega t$$

$$r = \sqrt{1 - m_z^2}, \omega = \beta/\alpha + \beta\alpha$$

# Колебательное решение

Вблизи неподвижной точки  $h_z - \beta/\alpha$  компонента  $m_z$  меняется медленно. Поэтому

$$m_x = r e^{m_z A t} \cos Bt, \quad m_y = -r e^{m_z A t} \sin Bt$$

где  $A = (m_z - h_z + \beta/\alpha)\alpha$ ,  $B = m_z - h_z - \beta\alpha$

Стабилизация цикла:  $A < 0$  и убывает в нуль при приближении  $m_z$  к неподвижной точки

Нет нелинейности по  $m_{x,y}$ : нет высших гармоник, при внешнем воздействии и взаимодействии не должно быть резонансов на гармониках

# Связанные осцилляторы

- Связь через общий ток: из-за эффекта гигантского магнитного сопротивления электрическое сопротивление осциллятора меняется вместе с  $\vec{m}$ . Включаем осцилляторы последовательно или параллельно в электронную схему. Глобальная связь через общее поле.
- Мы рассматриваем связь через магнитные поля создаваемые осцилляторами. Коррекция в эффективное поле:  $\vec{h}_{\text{eff}} \rightarrow \vec{h}_{\text{eff}} + \epsilon \sum_{j=1, j \neq n}^N a_{n,j} \vec{m}_j$



# Два связанных осциллятора

Осциллятор 1:

$$\dot{m}_{1,x} = m_{1,z}A_1m_{1,x} + B_1m_{1,y} + \epsilon \{ \alpha [m_{2,x} - (\vec{m}_1 \cdot \vec{m}_2)m_{1,x}] - m_{1,y}m_{2,z} + m_{2,y}m_{1,z} \}$$

$$\dot{m}_{1,y} = -B_1m_{1,x} + m_{1,z}A_1m_{1,y} + \epsilon \{ \alpha [m_{2,y} - (\vec{m}_1 \cdot \vec{m}_2)m_{1,y}] + m_{1,x}m_{2,z} - m_{2,x}m_{1,z} \}$$

$$\dot{m}_{1,z} = A_1(m_{1,z}^2 - 1) + \epsilon \{ \alpha [m_{2,z} - (\vec{m}_1 \cdot \vec{m}_2)m_{1,z}] - m_{1,x}m_{2,y} + m_{2,x}m_{1,y} \}$$

$$A_1 = (m_{1,z} - h_z + \beta_1/\alpha)\alpha, \quad B_1 = m_{1,z} - h_z - \beta_1\alpha$$

Для осциллятора 2 нужно обменять индексы  $1 \leftrightarrow 2$

# Фазовое приближение

Считаем, что собственные частоты близки, т. е.  $\beta_1 - \beta_2$  мало.

Ищем решение в фазовом приближении (амплитуды постоянные):

$$m_{1,2,x} = \sqrt{1 - a^2} \cos(\phi_{1,2}(t)),$$

$$m_{1,2,y} = \sqrt{1 - a^2} \sin(\phi_{1,2}(t)),$$

$$m_{1,2,z} = a.$$

## Фазовое приближение

Амплитуда при малом  $\beta_1 - \beta_2$

$$a = h_z - \frac{\beta_1 + \beta_2}{2\alpha}$$

Стационарная разность фаз (режим синхронизации):

$$\sin \psi = \frac{\beta_1 - \beta_2}{2\epsilon}$$

Частота синхронных колебаний

$$\omega_s = \frac{\beta_1 + \beta_2}{2\alpha}$$

# Фазовое приближение

Отдельный осциллятор:

$$a = h_z - \frac{\beta}{\alpha}, \quad \omega = \frac{\beta}{\alpha} + \beta/\alpha$$

Типично:  $\alpha = 0.01$ ,  $\beta < \alpha \Rightarrow \beta\alpha$  может быть отброшено

Два синхронизированных осциллятора:

$$a = h_z - \frac{\beta_1 + \beta_2}{2\alpha}, \quad \omega_s = \frac{\beta_1 + \beta_2}{2\alpha}$$

Среднее парциальных частот и амплитуд

## Фазовое приближение

Уравнение Адлера–Хохлова для разности фаз  
(стационарное решение – режим синхронизации):

$$\dot{\psi} = \delta - \mu \sin \psi, \quad \delta = \left( \frac{\alpha^2}{\alpha^2 + 1} \right) \frac{\beta_1 - \beta_2}{\alpha}, \quad \mu = \left( \frac{\alpha^2}{\alpha^2 + 1} \right) \frac{2\epsilon}{\alpha}$$

После перенормировки времени

$$\delta' = (\beta_1 - \beta_2)/\alpha, \quad \mu' = 2\epsilon/\alpha$$

Язык синхронизации:

$$|\beta_1 - \beta_2| \leq 2\epsilon$$

# Бистабильность

Кроме синхронного решения при тех же параметрах существует ещё одно, несинхронное

На рисунках ниже используется два н.у.

$$\vec{v}_1 = (0.1, -0.1, 0.9), \quad \vec{v}_2 = (-0.2, 0.2, 0.8) \quad (1)$$

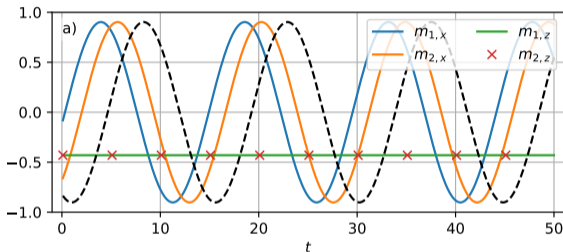
$$\vec{v}_1 = (0.1, -0.2, 0.001), \quad \vec{v}_2 = (-0.1, 0.3, -0.002) \quad (2)$$

Начальные условия задаются через вектора  $\vec{v}_1$  и  $\vec{v}_2$  как

$$\vec{m}_{1,2}(0) = \vec{v}_{1,2} / \|\vec{v}_{1,2}\|$$

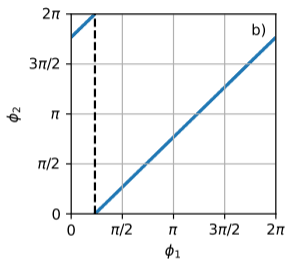
# Синхронное решение (1)

$$\alpha = 0.01, \beta_1 = 0.0046, \beta_2 = 0.004, \epsilon = 0.00045, h_z = 0.$$



- $m_{1,2,x}$  синхронизированы,  $m_{1,2,z}$  не колеблются,  $m_{1,2,z} = a = -0.43$  соответствует полученной формуле
- Штриховая линия – синусоида  $\sqrt{1 - a^2} \sin(\omega_s t)$  где  $\omega_s = 0.43$  вычислена по формуле выше

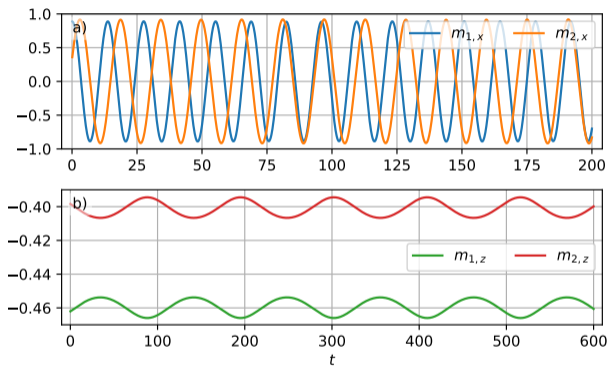
# Синхронное решение (1), фазовая диаграмма



- Режим синхронизации 1 : 1
- Штриховая линия проведена от начала координат на расстоянии  $\psi = \phi_1 - \phi_2 = 0.73$  (по формуле выше)

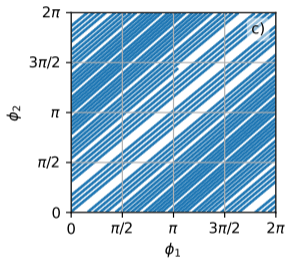


## Несинхронное решение (2)



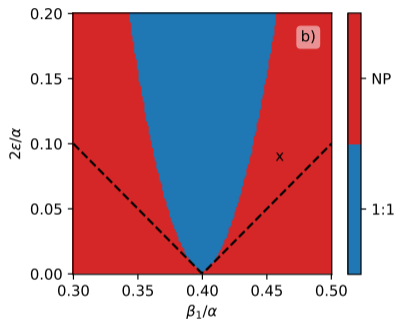
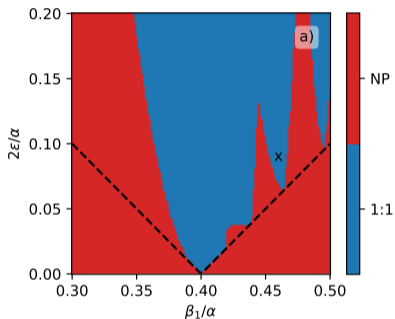
- $m_{1,2,x}$  не синхронизированы
- $m_{1,2,z}$  очень медленно осциллируют

# Несинхронное решение (2), фазовая диаграмма



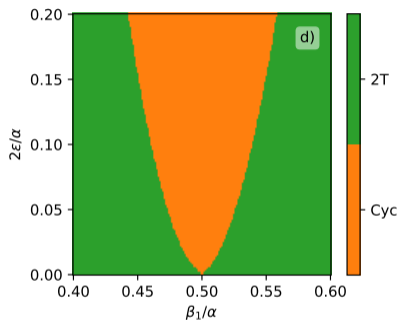
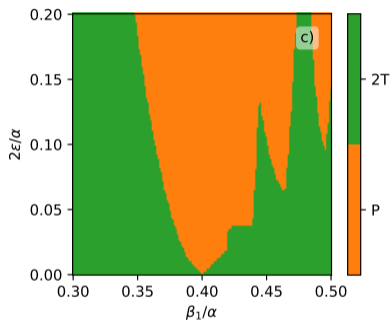
- Линия  $\phi_2(\phi_1)$  заполняет квадрат — признак квазипериодичности

# Карты режимов (1) и (2)



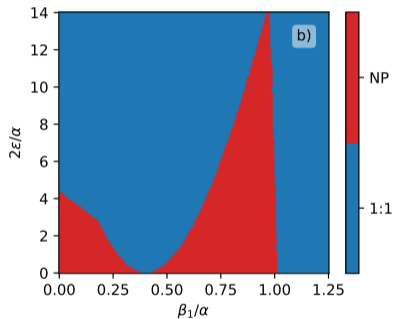
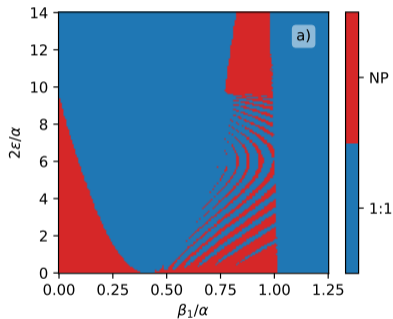
- Штриховые линии – границы найденного языка синхронизации
- Крестик – параметры для рисунков выше

# Карты показателей Ляпунова (1) и (2)

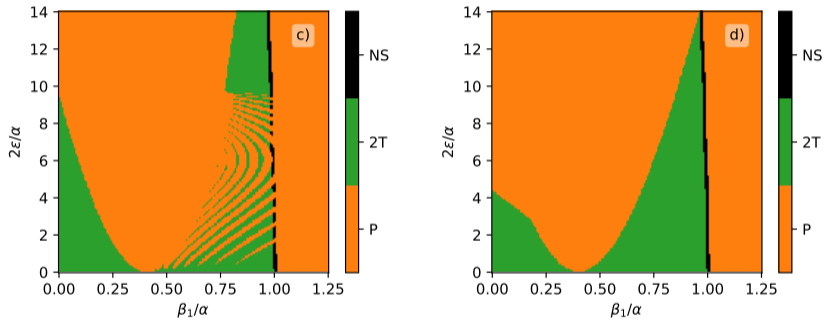


- $\lambda_{1,2} = 0$  из-за  $\|\vec{m}_{1,2}\| = 1$
- P – цикл,  $\lambda_3 = 0$ ,  $\lambda_{4,5,6} < 0$
- 2T – тор,  $\lambda_{3,4} = 0$ ,  $\lambda_{5,6} < 0$

# Карты режимов (1) и (2), большой диапазон

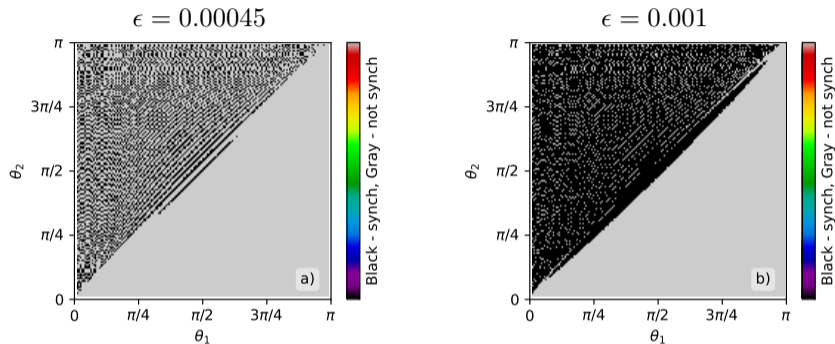


# Карты показателей Ляпунова (1) и (2)



- NS – порог бифуркации Неймарка–Сакера

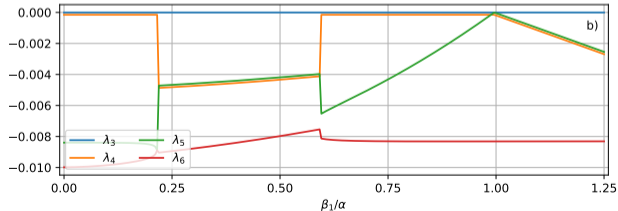
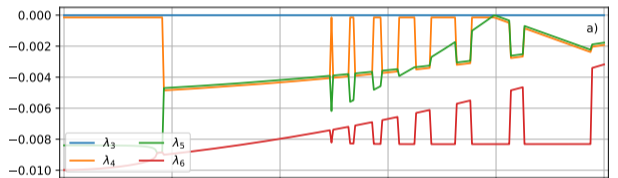
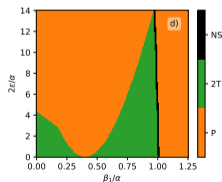
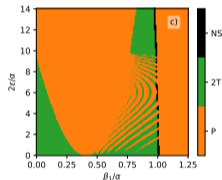
# Бассейны притяжения



- $m_{1,2,x} = \sin \theta_{1,2} \cos \phi_{1,2}$ ,  $m_{1,2,y} = \sin \theta_{1,2} \sin \phi_{1,2}$ ,  
 $m_{1,2,z} = \cos \theta_{1,2}$ ,  $\phi_1 = 0$ ,  $\phi_2 = 0.3\pi$ .
- Сумма размахов  $Z_1 + Z_2$ , где  $Z_n = \max_t m_{n,z} - \min_t m_{n,z}$

# Зависимость показателей Ляпунова от параметров, (1) и (2)

$$\epsilon = 0.01, 2\epsilon/\alpha = 2$$





# Выводы

- Спин-трансферный осциллятор с одноосной симметрией генерирует узкополосные колебания без старших гармоник. В теории — просто синусоида
- Стабилизация колебаний за счёт появления ненулевого коэффициента экспоненциального затухания, как в линейной системе с диссипацией
- Получены условия синхронизации двух таких осцилляторов в фазовом приближении
- Численный анализ выявил наличие бистабильности синхронного и несинхронного режимов
- Бистабильность исчезает при слишком малой и слишком большой силе связи
- Из-за отсутствия нелинейности по колебательным переменным карты режимов устроены просто — нет большого количества режимов, в частности нет резонансов старших  $m : n$
- Спин-трансферный осциллятор с одноосной симметрией — простая модель с интересными свойствами